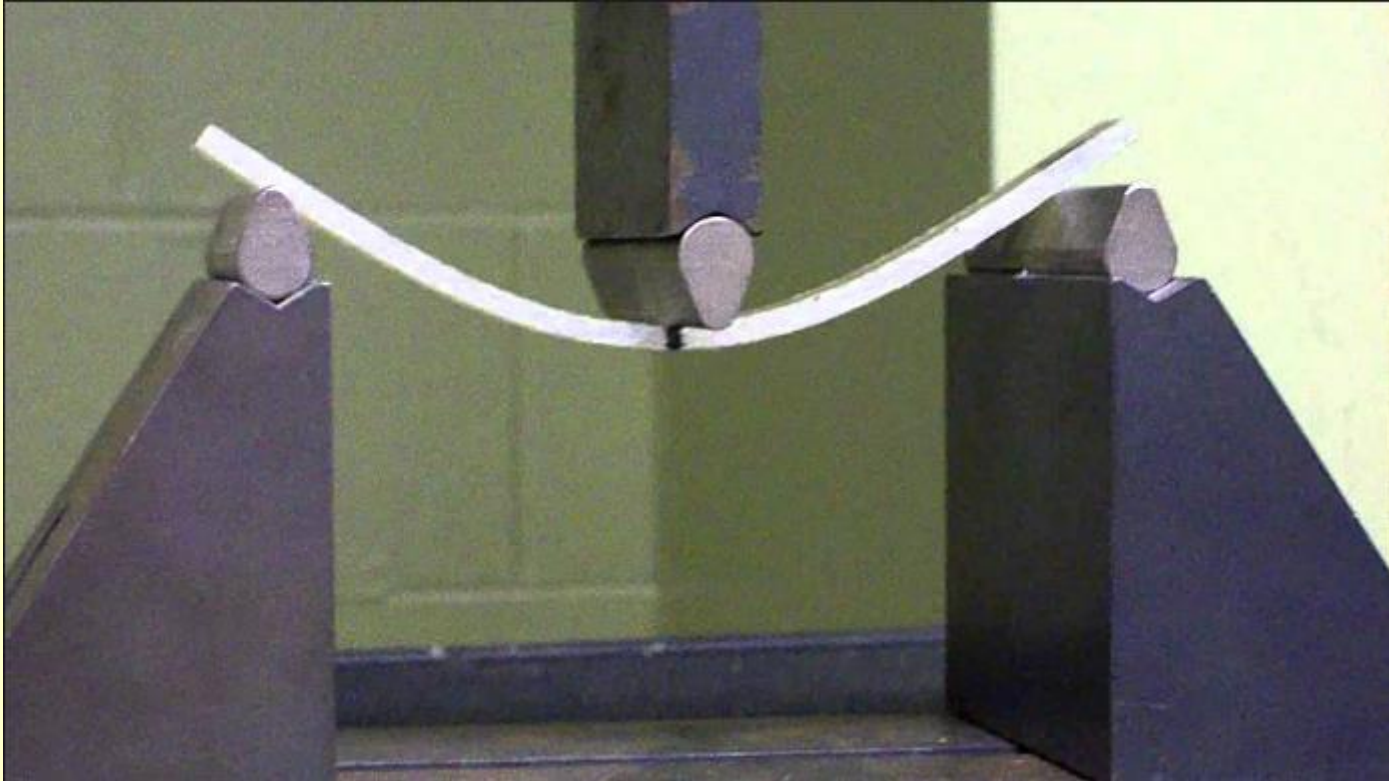
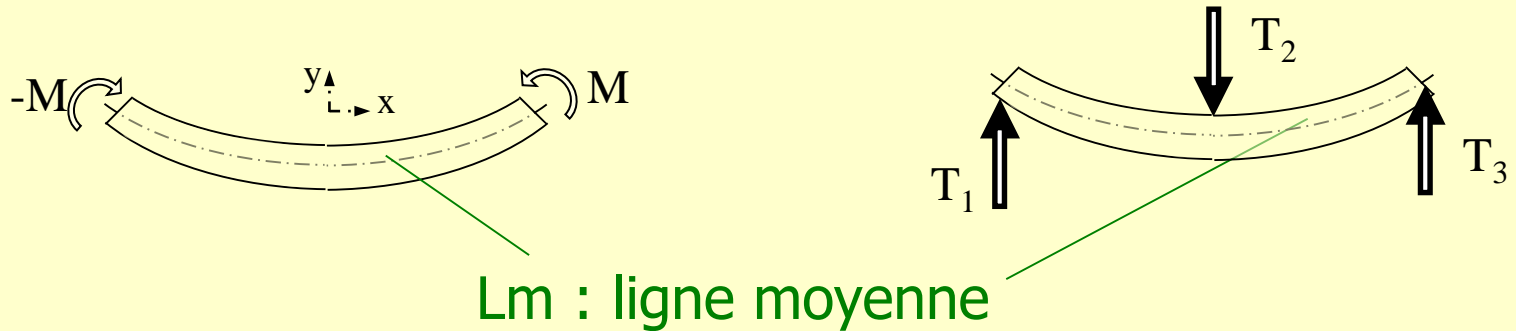


S72-1 - Flexion



S72-1 - Flexion

Définition :



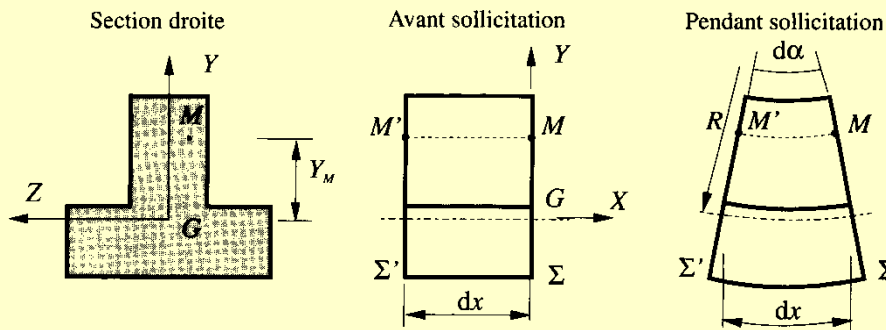
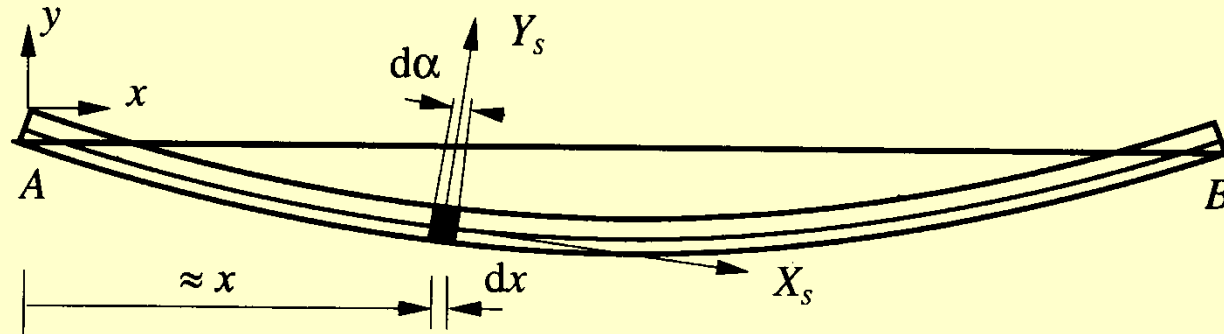
Torseur de cohésion :

$$\{T_{coh}\} = \{E_2 \rightarrow E_1\} = \left\{ \begin{array}{c} \vec{R} \\ M_G \end{array} \right\}_G = \left\{ \begin{array}{cc} 0 & 0 \\ T_y & 0 \\ 0 & Mf_z \end{array} \right\}_{(G, \bar{x}, \bar{y}, \bar{z})}$$

Relation entre l'effort tranchant et le moment fléchissant : $\frac{dMf_z}{dx} = -T_y$

S72-1 - Flexion

Etude de la contrainte normale:



$$\varepsilon = -Y_M \frac{d\alpha}{dx}$$

$$\sigma_M = -E \cdot Y_M \frac{d\alpha}{dx}$$

S72-1 - Flexion

Relation entre contrainte normale et moment fléchissant :

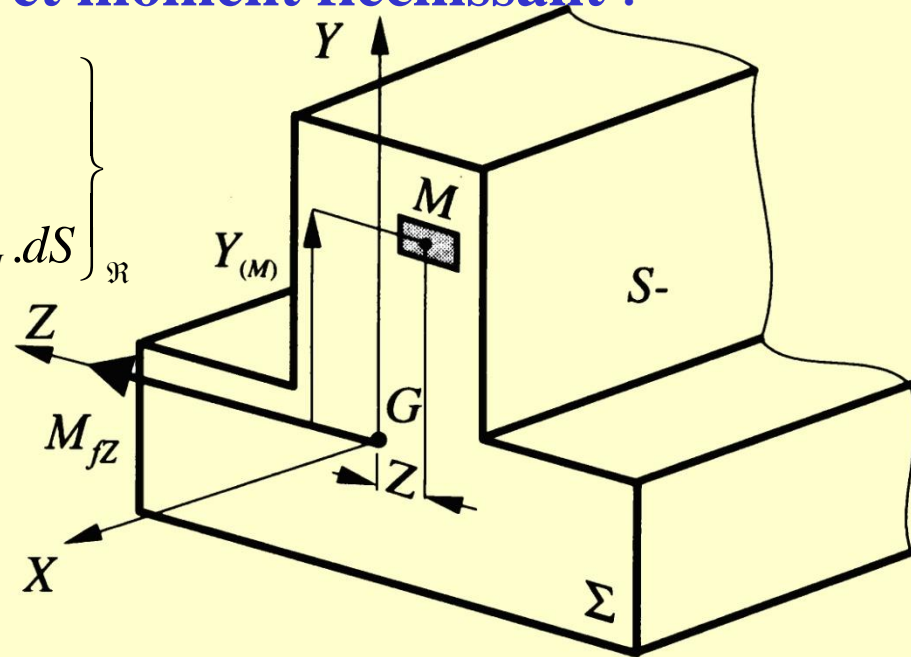
$$\left\{ S_g / S_d - \right\}_M = \left\{ \begin{array}{cc} \sigma_M \cdot dS & 0 \\ 0 & 0 \\ 0 & 0 \end{array} \right\}_{\mathcal{R}_G} = \left\{ \begin{array}{cc} \sigma_M \cdot dS & 0 \\ 0 & 0 \\ 0 & -Y \cdot \sigma_M \cdot dS \end{array} \right\}_{\mathcal{R}}$$

$$M_{fz} = - \int_S Y \cdot \sigma_M \cdot dS$$

$$M_{fz} = - \frac{\sigma}{Y_M} \int_S Y^2 \cdot dS$$

$$\sigma_M = - \frac{M_{fz} \cdot Y_M}{\int_S Y^2 \cdot dS}$$

$$\sigma_{\max} = \frac{M_{fz}}{\frac{I_{Gz}}{y_{\max}}}$$

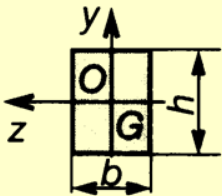
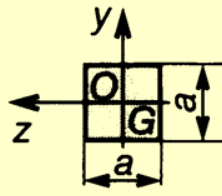
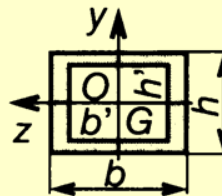
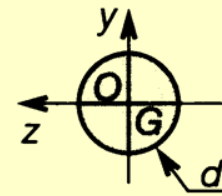
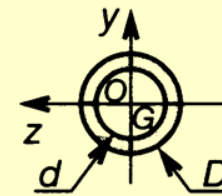
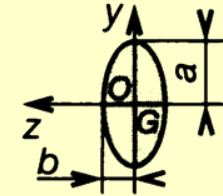


S72-1 - Flexion

Moments quadratiques:

VALEURS DE MOMENTS QUADRATIQUES PARTICULIERS

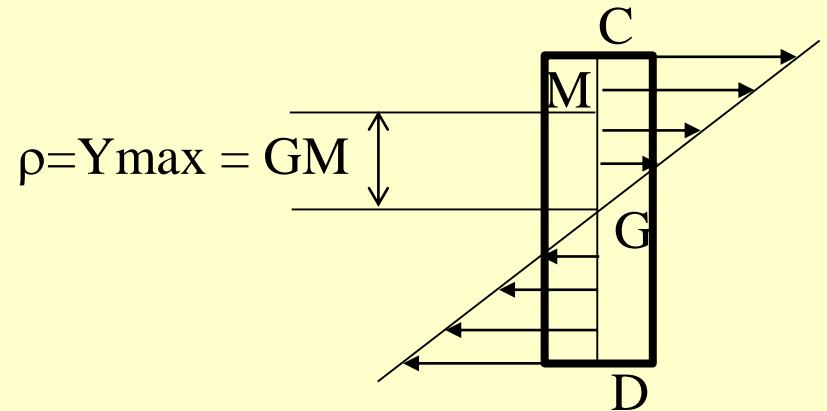
SECTIONS PRÉSENTANT UNE SYMÉTRIE CENTRALE

Sections (S)						
I_{Gy}	$\frac{hb^3}{12}$	$\frac{a^4}{12}$	$\frac{hb^3 - h'b'^3}{12}$	$\frac{\pi d^4}{64}$	$\frac{\pi}{64}(D^4 - d^4)$	$0,784 ab^3$
I_{Gz}	$\frac{bh^3}{12}$	$\frac{a^4}{12}$	$\frac{bh^3 - b'h'^3}{12}$	$\frac{\pi d^4}{64}$	$\frac{\pi}{64}(D^4 - d^4)$	$0,784 a^3 b$
$I_{Gx} = I_G$	$\frac{bh}{12}(b^2 + h^2)$	$\frac{a^4}{6}$	$I_{Gy} + I_{Gz}$	$\frac{\pi d^4}{32}$	$\frac{\pi}{32}(D^4 - d^4)$	$\frac{\pi}{4} ab(a^2 + b^2)$
Module de flexion * μ_{Gy}	$\frac{hb^2}{6}$	$\frac{a^3}{3}$	$\frac{bh^3 - b'h'^3}{6b}$	$\frac{\pi d^3}{16}$	$\frac{\pi}{16D}(D^4 - d^4)$	$0,784 ab^2$
Module de flexion * μ_{Gz}	$\frac{bh^2}{6}$	$\frac{a^3}{3}$	$\frac{bh^3 - b'h'^3}{6h}$	$\frac{\pi d^3}{16}$	$\frac{\pi}{16D}(D^4 - d^4)$	$0,784 ba^2$

Contrainte normale maximale :

$$\sigma_{\max} = \frac{M_{fz}}{I_{Gz} y_{\max}}$$

Module
de flexion



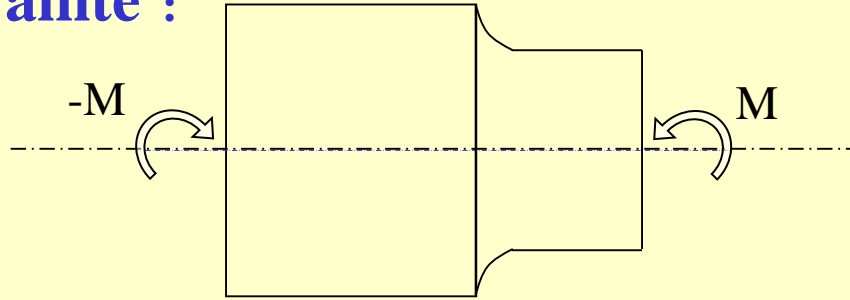
Condition de résistance à la contrainte normale:

$$\sigma_0 < R_{pe} = \frac{R_e}{s}$$

S72-1 - Flexion

Concentration de contrainte :

Chargement :



Contrainte :

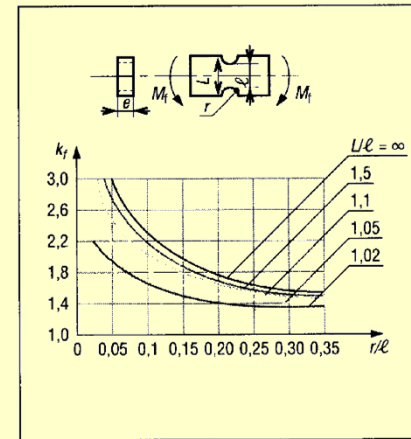
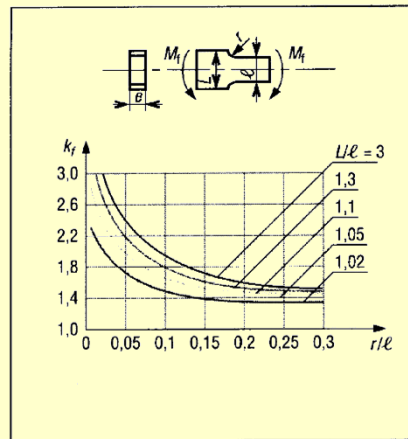
$$\sigma_{\text{maxi}} = K_{ts} \sigma_0$$

avec

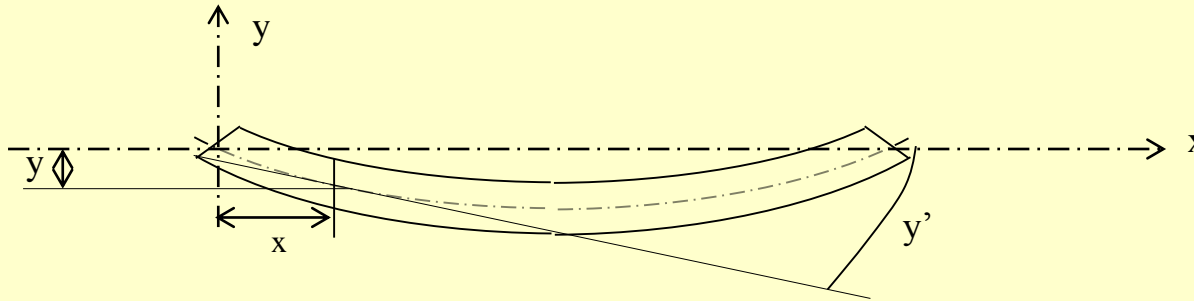
$$\sigma_0 = \frac{M_{fz}}{I_{Gz} \rho_y}$$

Détermination du K_t :

Lecture d'abaques



Déformation :



$$EI_{Gz} y'' = Mfz$$

tangente $\Rightarrow y' =$ angle entre tan à la déformation et l'axe x

déformation $\Rightarrow y =$ écart entre Lm et axe x

flèche \Rightarrow

$$f = y_{\text{maxi}}$$

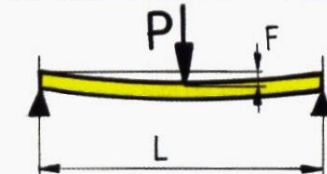
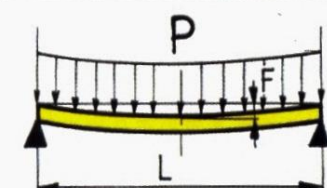
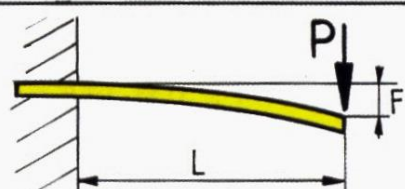
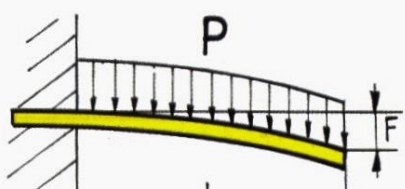
S72-1 - Flexion

Exemple de résolution :



S72-1 - Flexion

Chargements basiques:

Disposition des charges	MOMENT FLÉCHISSANT	FLÈCHE MAXI	TAUX TRAVAIL MAXI
	EN Kg/mm	EN M/M	EN Ddn/mm ²
 <p>POUTRE sur 2 Appuis</p>	$\frac{P \times L}{4}$	$\frac{P \times L^3}{48 \times E \times I}$	$\frac{Mf}{I}$ $\frac{1}{V}$
	$\frac{P \times L}{8}$	$\frac{5 \times P \times L^3}{384 \times E \times I}$ $\frac{P \times L}{8} \times \frac{5 \times L^2}{48 \times E \times I}$	$\frac{Mf}{I}$ $\frac{1}{V}$ AU MILIEU
 <p>POUTRE ENCASTRÉE</p>	$P \times L$	$\frac{P \times L^3}{3 \times E \times I}$	$\frac{Mf}{I}$ $\frac{1}{V}$ A L'ENCASTREMENT
	$\frac{P \times L}{2}$	$\frac{P \times L^3}{8 \times E \times I}$	$\frac{Mf}{I}$ $\frac{1}{V}$
<p>E - MODULE D'ELASTICITÉ I - INERTIE SECTION Mf - MOMENT FLÉCHISSANT</p>			